

水室式沈澱槽について

豊田工業高等専門学校 正員 山本 広次

概要

公害防止のため、富山県新湊市の日本高周波KK富山工場に設置した、水室式沈澱槽について報告をする。この水室式沈澱槽は、同工場の40t電気炉でインゴットの焼入れ処理を行なうとき、発生する赤褐色の粉塵を、回収処理するために設けられた設備である。

一般に、工場で発生する粉塵は、集塵した上で、フィルター又は電気集塵機を使って、乾式で除去するか、水で洗滌して、沈澱槽で処理する湿式の二方法が行なわれている。

湿式の沈澱槽は、一般に、工事は容易であるが、微粒子の沈澱処理がむづかしく、汚水問題を考慮して、工事費の高い乾式で施工されるものが多い。

水室式沈澱槽の、基本的構想は、水中を流下する懸濁粒子の沈降速度は、Rynold数に比例して、小さくなる。流水中の懸濁粒子は、静止する空間があるときは、粒子は、その方向に向つて曲る傾向がある。水路を流下する懸濁粒子は、水路の底辺付近を、密度流となつて流下する。この三つの現象を利用して、水槽の下部に、流速の小さい水室を設け、水流のうちの密度流だけを導いて沈澱させれば、沈澱機能は大きく、沈澱槽の容積は小さく、することができると言う構想である。

日本高周波富山工場の、水室式沈澱槽を操作の結果は、鉄粉の直径 $3 \sim 4 \mu (1 \mu = \frac{1}{1000} \text{ mm})$ 以上のものを沈降させ、懸濁粒子の99.8%を回収している。

2 固体粒子の沈澱

液体中の懸濁粒子の沈降速度は、粒子の大きさ、形状、密度、液体の温度、粘性係数に関係する。

ρ_s : 粒子の密度 g/cm^3 ρ_L : 液体の密度 g/cm^3

D : 粒子の直径 cm σ_a : 粒子の抵抗係数

μ : 液体の粘性係数 $\text{g/cm} \cdot \text{sec}$

とすれば、

層流 および乱流の領域, Newton式

$$v = \frac{4g(\rho_s - \rho_L)}{3C_d \rho_L} D \quad \text{--- (1)}$$

層流で、粒子の直径が小さい場合、Stoke式

$$v = \frac{1}{18} \frac{\rho_s - \rho_L}{\mu} g D^2 \quad \text{--- (2)}$$

この両式より、粒径と沈降速度の関係は、図-1の通りである。

沈澱槽における流速と沈降速度の関係は、図-2の通りで、

沈澱槽の所要面積は、沈澱除去率を100%とすれば

$$A = \frac{Q}{v_0} \quad \text{--- (3)}$$

A : 沈澱槽の所要面積 m^2 Q : 沈澱槽の流量 m^3/sec

v_0 : 粒子の沈降速度 m/sec

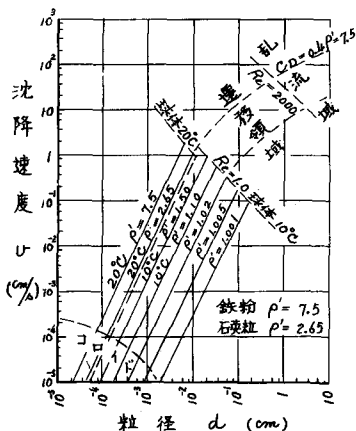


図-1 粒径と沈降速度

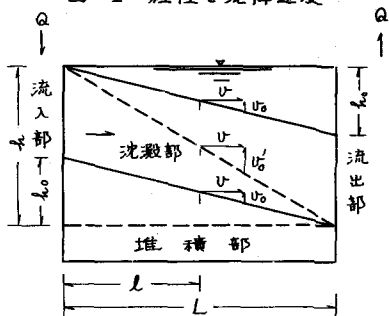


図-2 常流沈澱池

Hazenは、水底に到達した粒子は再び浮上しない、粒子は同大、同一沈降速度と仮定して、理論式を導き、その結果を図-3に示している。⁽³⁾

曲線①は、理想沈澱槽、又は間歇沈澱槽、一般の沈澱槽の沈澱は、曲線②~④である。

$$E_T = \frac{1}{(1 + T/t_0)} \quad \left. \begin{array}{l} \\ \\ \end{array} \right\} \text{--- (4)}$$

E_T : T時間後の除去率

t_0 : 沈澱時間

v_0 : 粒子の沈澱速度

n : 沈澱室の数

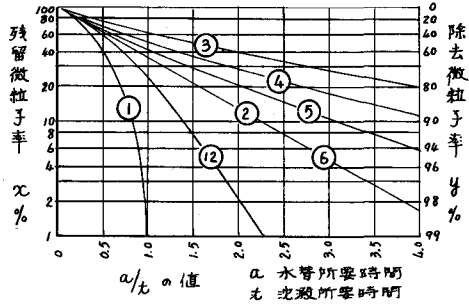


図-3 Hazenの理論による沈澱

3 沈澱槽の実験

短形沈澱槽について、最近注目すべき研究が、二つ発表された。

Manchester大学の、D. M. Thompson博士は、1967~68短形沈澱槽の実験を行ない、次の結果を得た。⁽⁵⁾短形沈澱槽は、長さL、巾B、深さD、流入水深H、流入量Q、密度ρ、平均流速v、流入水の濃度C_i、流出水の濃度C_e、粒子の沈降速度v_m、沈降拵り係数σ_u、重力の加速度をgとすれば

$$\frac{C_e}{C_i} = f_1 \left(\frac{C_i}{\rho} \cdot \frac{v_m}{\sigma_u} \cdot \frac{\rho v_m L}{\mu} \cdot \frac{Q}{v_m L B} \cdot \frac{v_m^2}{g l} \cdot \frac{B}{L} \cdot \frac{D}{L} \cdot \frac{H}{L} \right) \quad (5)$$

実験に使つたA水槽は、L=99 cm B=35.6 cm D=20.4 cm H=2.5 cm

B水槽は、L=297 cm B=106.8 cm D=61.2 cm H=7.5 cm を用い

10種の流量と、5種の濃度について、5回宛の実験を行なつた。

実験の結果は、 $\frac{C_e}{C_i}$ の誤差は8%以内で、式(5)は、次の通りとなる。

$$\frac{C_e}{C_i} = f_2 \left(\frac{v_m}{\sigma_u} \cdot \frac{B}{L} \cdot \frac{Q}{v_m L B} \right) \quad \text{--- (6)}$$

水槽内における水流の現象については、次の通りである。

密度流の場合は、図-4 (b) の如く、潜入流と表面還元流が起り、突入点が現れた。

清水の場合は、図-4 (c) の如く、表面流型となつた。

如何なる場合も、図-4 (a) の如き、単純流型は起らなかつた。

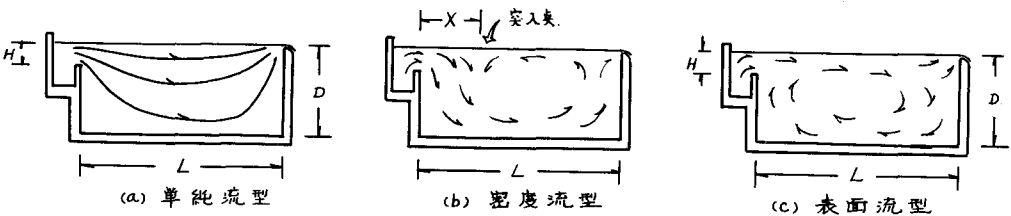


図-4 Thompsonの短形水槽の実験

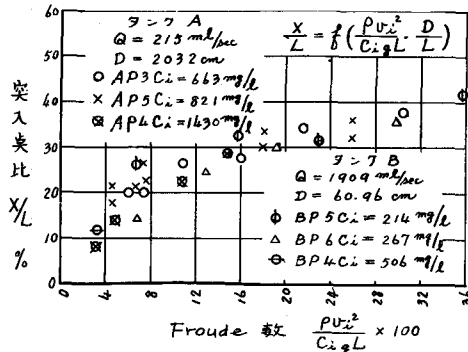


図-5 Froude 数と突入率との関係 (Thompson)

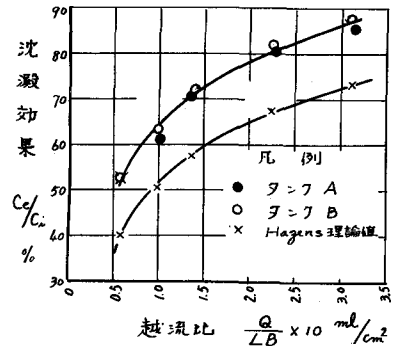


図-6 沈澱効果と越流比の関係 (Thompson)

実験の結果は、突入点の位置 X は、図-5 の如く、Froude 数の関数で表され、何れも水槽長さ L の 9~4.2% であつた。

実験における沈澱効果 C_c/C_i を、流量比 Q/LB についてプロットすれば、図-6 の通りで、Hazen の理論値との間に、拡散係数等により多少の差を生じたが、懸濁粒子の濃度や、水槽の水深はほとんど関係がなく、沈澱効果は Hazen の法則により Q/LB に左右される。

九州大学の栗谷陽一博士は、「く形沈澱池における密度流と死水」の関係について実験を行ない、その結果を 1969 年発表された⁽⁶⁾。その概要は、Thompson 博士の実験における突入点から下流の還元流の部分に、死水域が発生する。死水域を生ずる原因は、温度差と密度差であるが、特に密度差が大きくなると顕著に死水域が生じ易くなり、密度流は沈澱槽に流入すると直ちに下降を始める。

現象としては、Thompson の実験と類似である。

4 水室式沈澱槽の水理

水室式沈澱槽は、図-7 の如く、第 2 沈澱槽の下流側に、水槽長さの 2/3 程度床版を張つて上下に仕切り、上部は開水路、下部を水室とし、水室の下流端にオリフイス孔を設けた構造である。

図-7 において、第 1 沈澱槽は、普通の矩形沈澱槽で、懸濁粒子の大径のものを沈降させ、第 2 沈澱槽は、水室式沈澱槽で、小粒子を沈澱させる。

水室式沈澱槽の、上部を開水路、下部を管水路とすれば、両水路の分岐点図-7 の A B 点間の水理は、 Q_1 を開水路流量、 Q_2 を管水路流量とすれば

$$Q_0 = Q_1 + Q_2$$

$$Q_1 = v_1 \times A_1 \quad v_1 = \frac{1}{\pi^{1/2}} R_1^{2/3} I_1^{1/2}$$

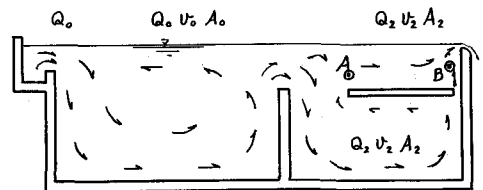
$$Q_2 = v_2 \times A_2 \quad v_2 = C R_2^m I_2^m$$

$$\sum h_1 = \sum h_2$$

一般に、管水路の損失水頭は、流入・摩擦・急縮・

急拡等が影響する。開水路と管水路の各損失水頭が、平衡する流量の割合で、両水路を流下する。

下部水室の損失水頭は、水室の下流端に設けた小孔



第1沈澱槽 第2沈澱槽

図-7 水室式沈澱槽

の、通水断面積が大きく作用する。したがって、下部水槽の通水量は、オリフイス孔の寸法で、計画的に決めることができる。水室内の平均流速が判れば、水室内の沈澱物の粒径も、予め決めることが可能である。

水室式沈澱槽は、Thompsonの実験における突込点、又は栗谷博士の死水域付近までをアプローチとする。流水中の懸濁粒子は、アプローチ部分に流入すると共に、密度流は流速の小さい下方に向つて沈降を起し、静止状態に近い水室の底面に沿つて流下しつ懸濁粒子を沈澱させ、沈澱した粒子は移動しない。

沈澱槽に床版を張つたことにより、沈澱槽内の水流は、Thompsonの実験よりも多少変つてくるが、恐らく、密度流は、図一七の矢印の如き流れを起していると推定される。

5 実施例

日本高周波富山工場の水室式沈澱槽は昭和43年6月設計をし、12月に運転を開始した。

その概況は写真一ノの通りである。その構造は、沈澱物処理の都合により、図一八の如く、二つの水槽を設けた。第1沈澱槽は、矩形沈澱槽で、鉄粉の粒径10μ以上を処理し、第2沈澱槽は水室式とし、4μまでと沈澱させる計画である。

水室の構造は、型钢を組み、床に鋼板を張り、潤辺を大きくするために鋼板を吊つた。

目的 40t 電気炉 焼入れ処理の粉塵

沈澱物 鉄粉 20μ~4μ

使用水量 $Q_0 = 80 \text{ m}^3/\text{h} = 0.022 \text{ m}^3/\text{sec.}$

第1沈澱槽 $B_0 = 5.0 \text{ m}$ $H_0 = 3.0 \text{ m}$ $H_e = 2.5 \text{ m}$ $A_0 = 12.5 \text{ m}^2$ $L_0 = 7.0 \text{ m}$
 $U_0 = 0.0018 \text{ m/sec.}$ $d_0 = 1 \times 10^{-3} \text{ cm}$ $\rho = 7.0$ $V_0 = 105 \text{ m}^3$

第2沈澱槽 $B_1 = 5.0 \text{ m}$ $H_1 = 0.9 \text{ m}$ $A_1 = 4.5 \text{ m}^2$ $Q_1 = 0.021 \text{ m}^3/\text{sec.}$

$U_1 = 0.0047 \text{ m/sec}$ $\Sigma h_1 = 4.5 \times 10^{-8} \text{ cm}$

$B_2 = 5.0 \text{ m}$ $H_2 = 1.9 \text{ m}$ $A_2 = 9.5 \text{ m}^2$ $A_3 = 0.75 \text{ m}^2$ $Q_2 = 0.001 \text{ m}^3/\text{sec}$

$U_2 = 0.000105 \text{ m/sec}$ $d_2 = 4 \times 10^{-4} \text{ cm}$ $\Sigma h_2 = 5.5 \times 10^{-8} \text{ cm}$ $V_2 = 75 \text{ m}^3$

第2沈澱槽は、下部水室に $\frac{1}{20} Q_0$ だけを通水し、水室内の平均流速は 0.1mm/sec 沈澱物の最小粒径は 4μ

の計画である。

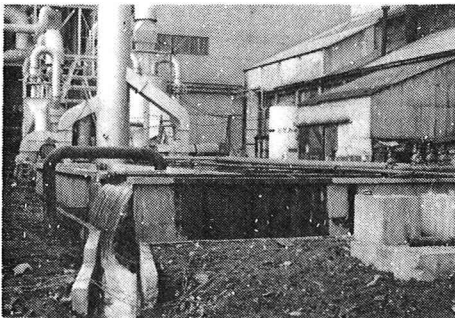
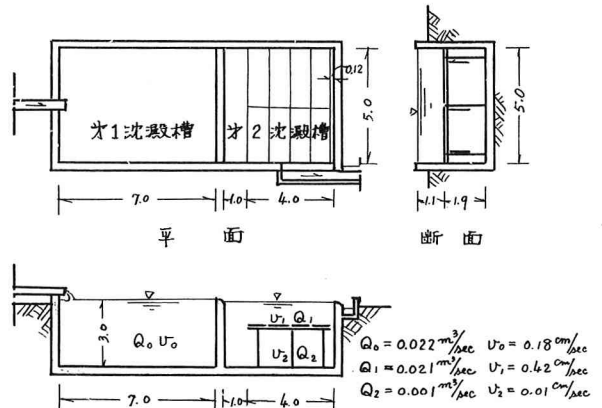


写真 1

日本高周波富山工場の水室式沈澱槽

深さ3m 巾5m 長さ12m 容量180m³

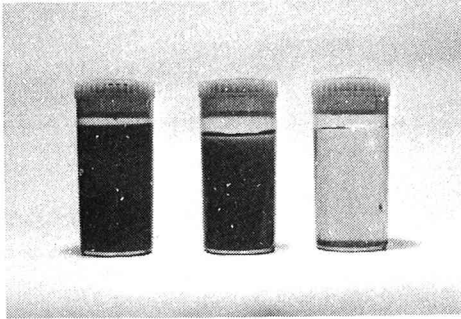


縦断面

図-8 日本高周波の実施例

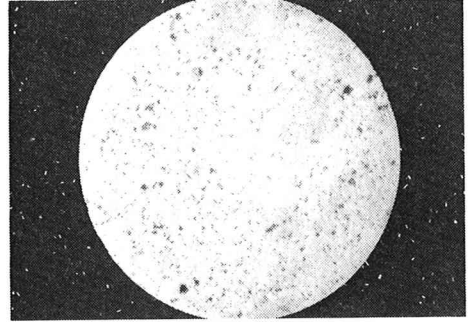
6 成 果

昭和44年3月、水室式沈澱槽の各点で試料を採取し、その結果を測定した。沈澱槽の沈澱効果は工場の操業状態・沈澱物の堆積状況・洗滌処理水の大小により濁度も濁度も変動するが、試料は平常運転の状態にて採取した。



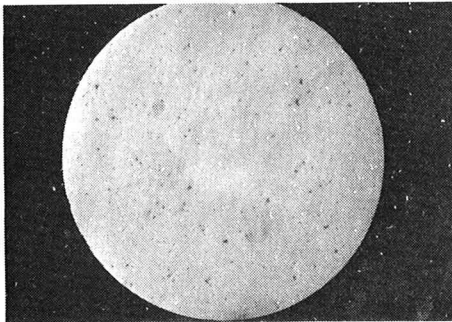
写 真 2

沈澱槽各点の採取時の原液、左は流入口
中は中央オーバーフロ、右は排水口



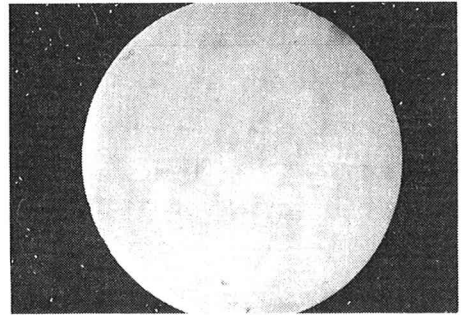
写 真 3

流入口の検微鏡写真、倍率/20、直径/1.0mm
濁度950、濃度/895ppm



写 真 4

中央越流部の検微鏡写真、濁度/110、濃度
258ppm、8μ以上のものは除去された



写 真 5

排水口の検微鏡写真、濁度/8、濃度21ppm
3μ以下のものが残っている

各点の原液の濁度と濃度は次の通りである。富山県工業試験場分析

写真No	位 置	濁 度	含有量	粒子の大きさ	分 析 法
3	流入口	950	1895	30~1	濁度 JIS K0101 8.1 一般法
4	越流部	110	258	8~1	懸濁物質 JIS K0102 10.2
5	排水口	8	21	3~1	ガラスろ過器 104 使用

測定の結果は、第1沈澱槽で、粒径8μ以上の鉄粉86.2%が除去され、第2沈澱槽で、粒径3μ以上のもの13.6%が沈澱し、工場排水中の鉄粉99.8%を処理、回収した事になる。

この処理水は海水が混っている、イオン化傾向、鉄粉(+)、塩化カルシウム(-)が作用しているかも知れぬ。
(富山大学化学工学科若林博士)第1沈澱槽で、30~8μを除去し、凝集沈澱を避けたこと

が効果的であつたかも知れぬ。床版の鉄板を吊付けのため1cmあけたこと、水室内に鉄板を吊り下げたことも、影響するかも知れぬ。

長さ7.0mの第1沈澱槽で8 μ 258ppmまでしか沈澱しないのに、僅か5.0mの第2沈澱槽でコロイドに近い粒径3 μ 、残留物質2ppm、沈澱効果99.8%まで鉄粉を除去することができた。

在来の沈澱槽でこの通水断面では、粒径8 μ 、沈澱効果90%は困難であると推定される。濁度も18度まできれいになり、還元して洗滌に使用も可能であるが、放生津瀉に放流した結果は、放水口付近の水面が次第に浄化されつつある。

水室式沈澱槽の沈澱効果は、Hazen理論の沈澱するまで送水を停止する間歇沈澱槽、又は沈澱し終つた清水のみを逐次取水する理想沈澱槽、即ち図一3の①の曲線に近い沈澱効果を示している。

本実施例は、両沈澱槽間の隔壁に器具を取付ける関係で中間壁をオーバフロー型とし、この部分が乱流になつている。この隔壁を50~100cm低くして乱流を防止し、Thompsonの実験より、アプローチを多少長く改めればより沈澱効果が大きかつたと推定される。

7 結 び

日本高周波富山工場の水室式沈澱槽は、測定の結果は、水理計算による推定値より更に大きな沈澱効果を示し、実験用水槽とも言える小型の沈澱槽で、大きな機能を発揮した。

水室式沈澱槽は、水道・農業・水力発電等流砂の沈澱槽にも適用出来ると考え、設計したのが図-9である。図-9は農業用水 $Q=6.5m^3/sec$ $d=0.015cm$ を対照にしたが、同一機能の在来型沈澱槽の1/10の容量である。排砂バルブに図-9の如く、エジェクターパイプを取付けると、バルブを開けた都度上部の清水が掃流作用を行ない、水路は通水を行ない、排砂を行なうことができる。

水室式沈澱槽は、比重1.0以上で、コロイドよりも大きな固形粒子なれば、薬品を使用しなくても微粒子を沈澱させる機能を持ち、水質保全、公害防止に役立つと考えられる。

この水室式沈澱槽の実現と調査に協力された、日本高周波富山工場・富山県工業試験場・富山工業高等学校・北陸コンサルタントKKの皆様に謝意を申述べます。

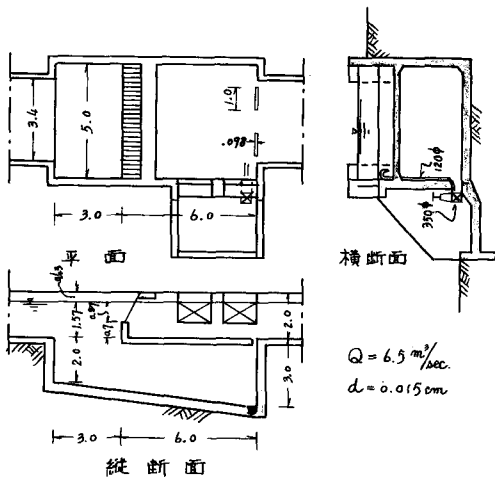


図-9 農業用水用計画案

参 考 文 献

- 1、岩井重久・廃水の生物学的処理 コロナ社 1968
- 2、清浦雷作・工業排水 日刊工業新聞社 1968
- 3、広瀬孝六郎・都市上下道 技報堂 1964
- 4、土木学会・水理公式集 土木学会 1963
- 5、D. M Thompson Proceedings 1969 Vol 43
- 6、栗谷陽一 楠田哲也・く形沈澱池における密度流と死水 土木学会論文報告集 1969 第168号